

9 Mars 2022

MESURER ET DÉTECTER LES EFFETS SECONDAIRES
DE LA RÉALITÉ VIRTUELLE AU TRAVAIL :
INFINITY CAS APPLIQUÉ AVEC LES FORCES DE POLICE



Alexis Souchet



Domitile Lourdeaux



Lama Diallo



Weifei Xie



Afia

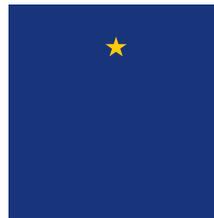
Association française
pour l'Intelligence Artificielle

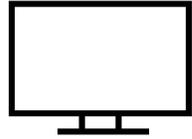


This project has received funding from the European Union's Horizon 2020 research and innovation programme under **grant agreement No 883293**



Research and Innovation Action (RIA)





- Recueillir et traiter des données provenant de diverses sources
- Création de graphiques et visualisation de données (par exemple, cartes, tracés)
- Explorer et analyser visuellement des données
- Visualisation de plusieurs médias (textes, images, vidéos)
- Saisir du texte et éditer des documents
- Conduite de réunions (briefings, présentations de données...)
- Collaborer avec d'autres utilisateurs en VR (et vues d'objets)
- Se déplacer dans l'environnement virtuel ou dans divers graphiques
- Prendre des décisions partagées pour des enquêtes en cours (réunions)



Manque de travaux expérimentaux, pas d'études sur le moyen et long terme, se concentre sur le grand public.

Anses (2021)



*Les dispositifs de RV et de RA peuvent également être une source de **risques** en raison de la distraction, de la surcharge d'informations, de la désorientation, du cybersickness et de la fatigue visuelle.*

Digitalisation and Occupational Safety and Health (2019)

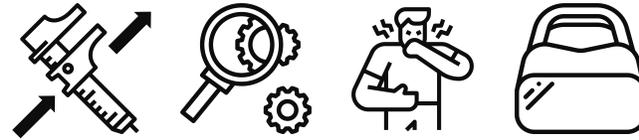


Les travailleurs des forces de police utilisant la VR s'exposent aux risques d'effets secondaires



Essayer de garantir performances tâches, la santé et la sécurité à l'usage de la VR

Notre rôle en bref



Mesurer / détecter et mieux documenter effets secondaires de la réalité virtuelle



Abaisser les effets secondaires



Adapter les contenus/interfaces selon état et profil utilisateur

Focus sur 5 Effets secondaires de la VR

VRISE = Virtual Reality Induced Symptoms and Effects

Cobb *et al.* (1999) ; Grassini and Laumann (2021) ; Chen *et al.* (2021)



Cybersickness



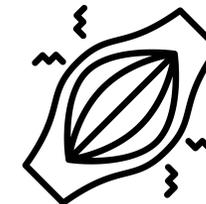
Fatigue visuelle



Surcharge cognitive



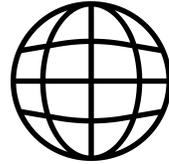
Stress aigu



Fatigue musculaire

80 % présentent des effets secondaires

Stanney *et al.* (2021)



CONFLITS SENSORI-MOTEURS (fatigue visuelle, cybersickness)



O'Regan and Noë, 2001; Fuchs, 2018; Brun *et al.*, 2018; Reason 1978; Watt, 1983 Davis *et al.*, 2014; Lawson, 2014; Rebenitsch & Owen, 2016; Nesbitt & Nalivaiko, 2018; Descheneaux *et al.*, 2020; Stanney *et al.*, 2020; Chang *et al.*, 2020

inadéquation entre la rétroaction sensorielle prévue et réelle, produisant à la fois des perturbations sensorielles et motrices



Pas de consensus théorique sur les effets secondaires de la VR en général

Cybersickness incline à **adaptation** ou **désensibilisation**
aux conflits sensori-moteurs

Gavagni *et al.*, 2017; Stanney *et al.*, 2020

Donc

une exposition répétée pourrait
réduire les symptômes de cybersickness

Mais

cela peut impliquer une **mauvaise adaptation au monde réel**

Gallagher & Ferrè, 2018



Fatigue
visuelle



Surcharge
mentale



Stress
aigu



Fatigue
musculaire

FACTEURS INFLUENÇANT VRISE AU TRAVAIL



En l'état : information dispersée, floue, pas appliquée au travail



± 500

Synthèse de la littérature sur 5 VRISE au travail

Identification facteurs influençant VRISE

Identification risques particuliers travail / analystes

Désambiguation entre VRISE

Identification de liens entre états

Agenda de recherche



50 facteurs influençant le cybersickness d'après

Rebenitsch and Owen, 2021

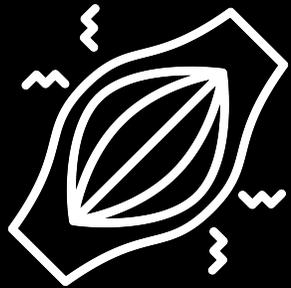
Demographics	Hardware	Software
Experience	screen	Movement
Experience with real-world task	Resolution/Blur	Rate of linear rotational acceleration
Experiences with simulator (habituation)	Horizontal and vertical field of view	Self-movement speed and rotation
Video game play	Weight of the display	Vection
Duration	Display type	Altitude above terrain
	Lag variance	Degree of control
Physical attributes	Tracking	Appearance
Eye dominance	Method of movement	Screen luminance
Stereoscopic visual ability	Calibration	Color
Postural stability	Position tracking error	Contrast
History of headaches/migraines	Tracking method	Scene content or scene complexity
BMI	Head movements	Global visual flow
		Orientation cues
Demographics	Rendering	Stabilizing information
Age	Stereoscopic rendering	Focus areas
Gender	Inter-pupillary distance	Ratio of virtual to real world
Ethnicity	Screen distance to the eye	Independent visual backgrounds
Vision correction	Update rate	Siting versus standing
History of motion sickness		
Mental attributes	Non-visual feedback	
Concentration level	Type of haptic feedback	
Mental rotation ability	Ambient temperature	
Perceptual style	Olfactory feedback	
	Audio feedback	

14 facteurs influençant la fatigue visuelle en VR selon nos ajouts à Bando *et al.* 2012



Demographics	Hardware	Software
Age	Vergence-accommodation conflict	Duration of display use
Stereoscopic visual ability (stereo-blindness)	Optical misalignment (between HMD lenses and eyes)	Binocular disparity (possible and comfortable fusion)
	Geometrical distortion	Motion parallax
	Luminance	Texture gradients
	Blue light	Occlusion
		Blur
		Colors

15 facteurs influençant la fatigue musculaire en VR



Demographic	Hardware	Software
Age	HMD Weight	Duration of immersion
Body mass index	Belts (attaching HMD to head)	Object angle location
	Interaction devices	Gesture amplitude
	Position tracking error	Tasks repetition
	HMD Resolution	Head rotations required
		General posture and body rotation
		Sitting or standing
		Body parts representation and feedback (avatar)

16 facteurs influençant la fatigue musculaire en VR au travail



Demographics	Hardware	Software
Age	Techno-stress	Techno-overload
Gender	Apparatus malfunctions	Noise
Experience with a real-world task		Public speaking
Experiences with a simulator (habituation)		Task difficulty
History of headaches/migraines		Time pressure
Body mass index		Exposure to distressing material
Personality traits		
Anxiety and stress prior to VR use		

FACTEURS INFLUENÇANT VRISE AU TRAVAIL



Cybersickness

Locomotion + durée immersion



Fatigue visuelle

Affichage de stéréoscopie + durée immersion



Surcharge mentale

Difficulté tâche en VR + Pression temporelle



Stress aigu

Techno-stress, bruits, type médias, tâches et prise de parole

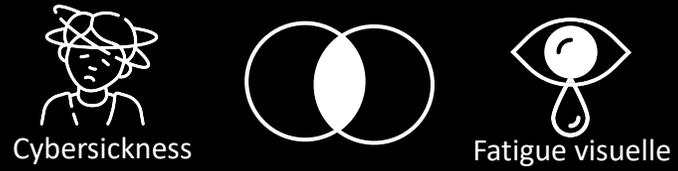


Fatigue musculaire

Poids du casque, gestes pour interaction

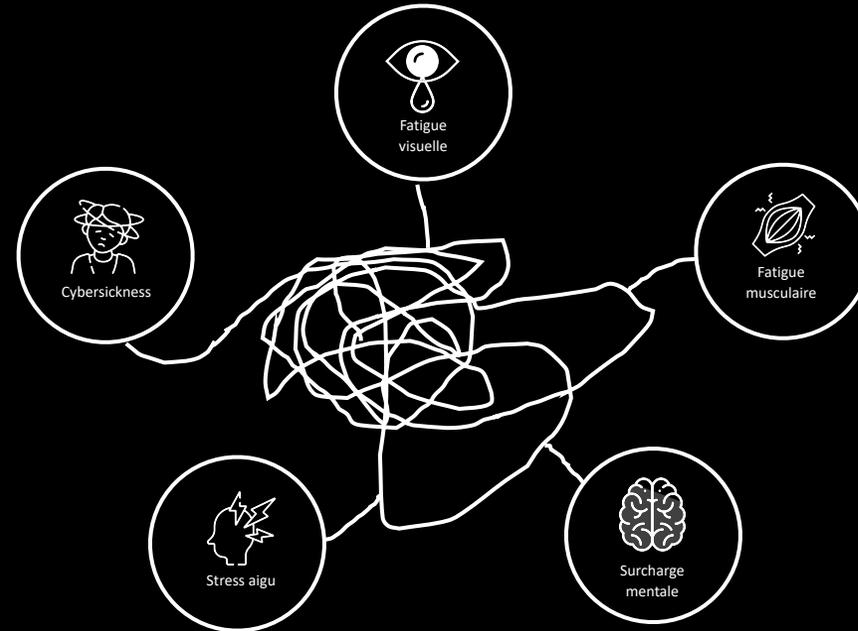
GUIDELINES

Intersection mais différents



Incertitudes sur mesures

Complexes, entrelacés



Publications en cours

[Q1 Human Computer Interaction](#)

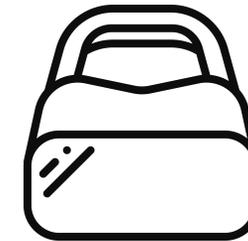
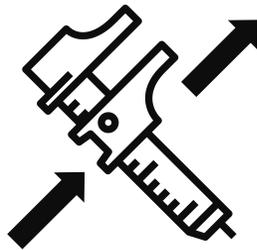


Five year impact factor
5.521 (2020)

Souchet, A., Lourdeaux, D., Pagani, A., Rebenitsch, L. **(Soumis)**. *A narrative review of immersive virtual reality's ergonomics and risks at the workplace: Cybersickness, Visual fatigue, Muscular fatigue, Acute stress, and Mental overload.* [Virtual Reality](#).

Souchet, A., Lourdeaux D., Burkhardt J.M., Hancock P. A. **(Soumis)**. *Design guidelines for limiting and eliminating Virtual Reality Induced Symptoms and Effects (VRISE) at Work: A comprehensive, factor-oriented assessment.* [Virtual Reality](#).

DÉTECTER LES EFFETS SECONDAIRES AVEC CAPTEURS PHYSIOLOGIQUES ET MACHINE LEARNING

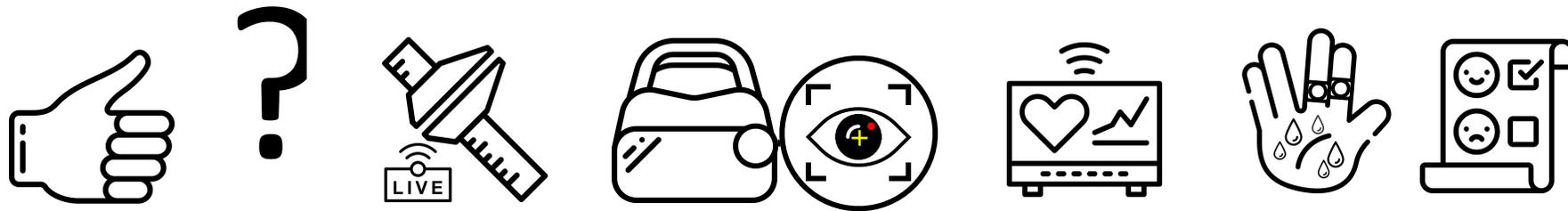


Mesurer / détecter et mieux documenter effets secondaires de la réalité virtuelle

Mesurer live fatigue visuelle, charge mentale et stress



Détecter et Différencier Etats avec eye tracking, ECG, EDA



yellow blue green blue
yellow red blue red
green red yellow yellow
blue yellow yellow green
blue green green red
blue red blue yellow

Pourquoi Stroop ?

Fonctions exécutives (cognition)

Attention sélective / Inhibition

Simplification expérimentale de conditions écologiques
Interactions Homme-Machine pour induire
charge mentale, stress et fatigue visuelle en VR

4 conditions : control, dual task, stressfull, stereoscopy

Stimuli Stoop, à vous de jouer !



BAUNTE

DÉTECTER LES EFFETS SECONDAIRES AVEC CAPTEURS PHYSIOLOGIQUES ET MACHINE LEARNING

25 congruent words + 25 incongruent words | Subjects answer orally

Conditions
coexpérimentales



1

Control

Stroop
task

yellow blue green blue
yellow red blue red
green red yellow yellow
blue yellow yellow green
blue green green red
blue red blue yellow

2

Dual
task

yellow blue green blue
yellow red blue red
green red yellow yellow
blue yellow yellow green
blue green green red
blue red blue yellow

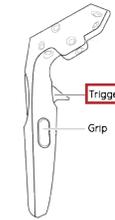
+

IF

25 times randomly

Red 

THEN



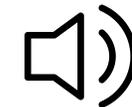
3

Stressfull

yellow blue green blue
yellow red blue red
green red yellow yellow
blue yellow yellow green
blue green green red
blue red blue yellow

+

Alarm



25 times randomly in time
+ random duration

< 80 dB

4

Stereoscopy

yellow blue green blue yellow blue green blue green blue
yellow red blue yellow red blue yellow red blue red
green red yellow green yellow yellow yellow yellow yellow
blue yellow yellow blue green yellow yellow green yellow green
blue green green blue green green red green green red
blue red blue blue yellow red blue blue yellow blue yellow

DÉTECTER LES EFFETS SECONDAIRES AVEC CAPTEURS PHYSIOLOGIQUES ET MACHINE LEARNING

Text to Speech & interaction contrôleur + voix

1. Calibration eye tracker

2. Baseline +

3. Instructions

Expérience de Stroop

Dans cette tâche vous allez voir des noms de couleurs affichés dans des couleurs différentes. Par exemple :

VERT

Vous devrez alors dire à voix haute le nom de la couleur du texte et non celle écrite. Ici, il faudra dire "Rouge".

Suivant

Expérience de Stroop

Lançons la reconnaissance vocale. Dites à tour de rôle "Rouge"; "Vert"; "Bleu"; et "Jaune"; en attendant que le mot s'allume avant de dire le suivant. Une fois chaque couleur validée, regardez le bouton OK pour passer au test.

ROUGE VERT BLEU JAUNE

Suivant

4. Calibration eye tracker

Stroop task = 25 congruents + 25 incongruents

ROUGE

5.

Questionnaires

Dans quelle mesure ressentez-vous une brûlure au niveau des yeux ?

Pas du tout Rarement Parfois Souvent Toujours

OK

Je me sens calme

Non Plutôt non Plutôt oui Oui

OK

Quel effort (mental et physique) avez-vous dû fournir pour atteindre votre niveau de performance ?

Faible Elevee

OK

6.

7. Calibration eye tracker

8. Relaxation

« Endline » après

+

9.

DÉTECTER LES EFFETS SECONDAIRES AVEC CAPTEURS PHYSIOLOGIQUES ET MACHINE LEARNING

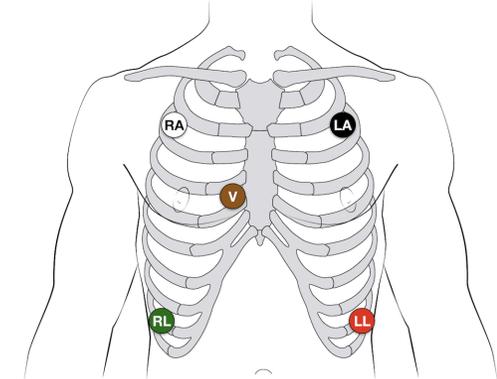
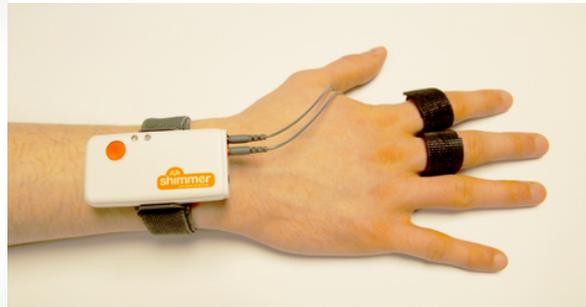
Hardware



HTC Vive Pro Eye (tracker)



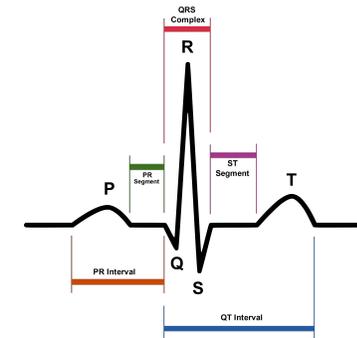
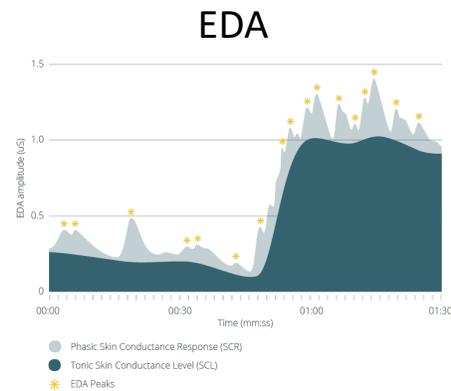
Shimmer sensors



ECG

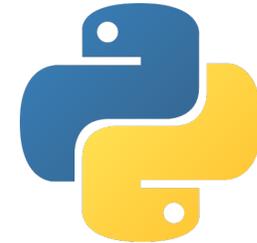
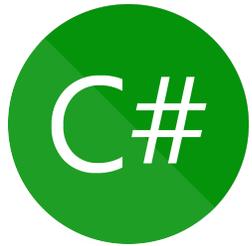


TimeStamp OS

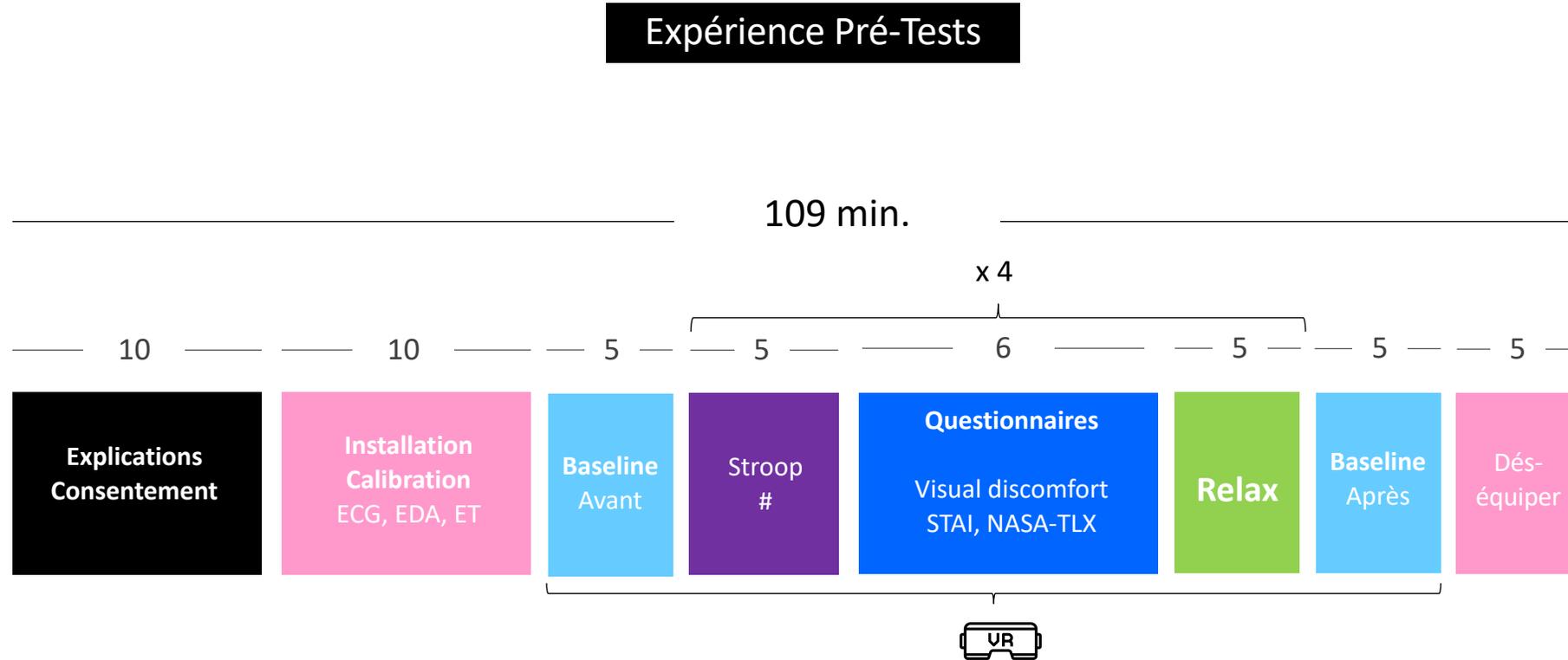


DÉTECTER LES EFFETS SECONDAIRES AVEC CAPTEURS PHYSIOLOGIQUES ET MACHINE LEARNING

Software



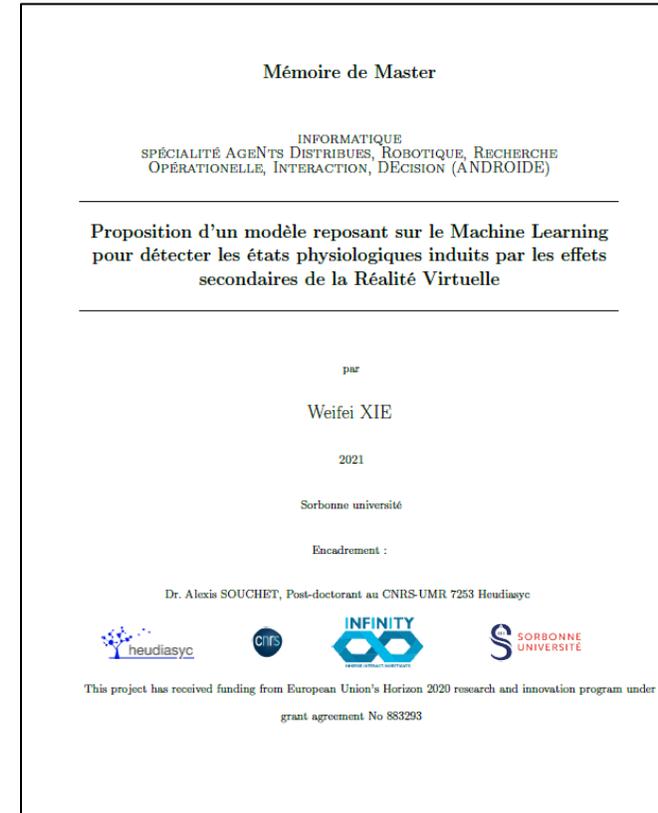
DÉTECTER LES EFFETS SECONDAIRES AVEC CAPTEURS PHYSIOLOGIQUES ET MACHINE LEARNING





Weifei XIE
Master ANDROIDE de Paris 6

Développement Pipeline traitement
data + Pré-tests



Soutenance 04/10/2021

Participants

6

SUJETS

entre 22 et 31 ans

M= 24.16 ± 4.12

1 femme

5 hommes

Tous connaissaient l'environnement virtuel

Traitement signaux physiologiques

Étape	ECG	EDA	Eye tracking
Filtrage signaux	Filtre passe-bas de 50 Hz. DWT (discrete wavelet transform) sera appliquée pour reproduire la procédure de Maldonado et al. (2020) Bibliothèques et algorithmes : neurokit, pyphysio de Bizzego et al. (2019)	Filtre passe-bas basé sur Liu and Du (2018) de 1 Hz. Algorithme de déconvolution pour diviser le signal en deux parties tonique (basse fréquence) et phasique (haute fréquence)	Classification IVT (Velocity-Threshold Identification fixation classification) comble les données manquantes et écarte les mouvements impossibles. Classement en trois types de mouvements (saccade, fixation, clignement) avec l'algorithme de Lin et al. (2019)
Extraction des features		neurokit2	Makowski et al. (2021)
Normalisation		Z-score and min max normalization	
Sélection des features		k-cross-validation et tests statistiques ANOVA, MANCOVA	

<https://github.com/neuropsychology/NeuroKit>

Hypothèses de travail

- H1** Les informations physiologiques permettent de prédire les effets secondaires de VR
- H2** Les informations physiologiques permettent de distinguer charge mentale et stress
- H3** Les informations physiologiques permettent de distinguer cybersickness et stress
- H4** Les informations physiologiques permettent de distinguer cybersickness et charge mentale
- H5** Différentes variations des features des signaux physiologiques (Eye tracker, ECG, EDA) permettent de détecter les effets secondaires de la VR
- H6** La technique SVM permet d'atteindre le meilleur niveau de détection des effets secondaires de la VR comparés à d'autres

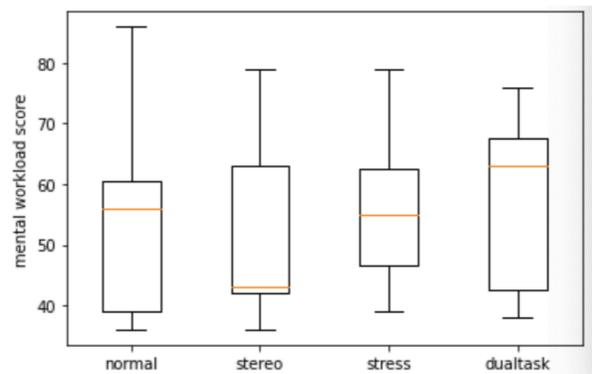
Résultats Pré-Tests

Etapas

- 1) Division binaire des scores de questionnaires
- 2) Normalisation avec toutes les features physiologiques et les techniques de machine learning pour réaliser une pré-sélection des meilleures techniques ML
- 3) Sélection des features en testant chaque technique ML et leur combinaison
- 4) Réduction du nombre de features nécessaires pour réaliser la détection et son efficacité

Résultats Pré-Tests Questionnaires

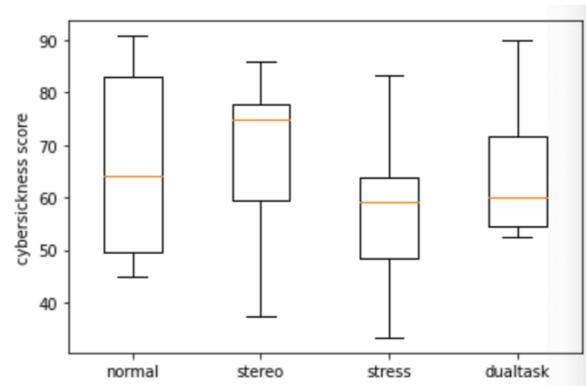
Scores Nasa-TLX Charge mentale



Chi square test

Dual task ≠ Control $p = 0.002$
 Dual task ≠ Stressful $p = 6.5 \cdot 10^{-6}$
 Dual task ≠ Stereo $p = 0.001$

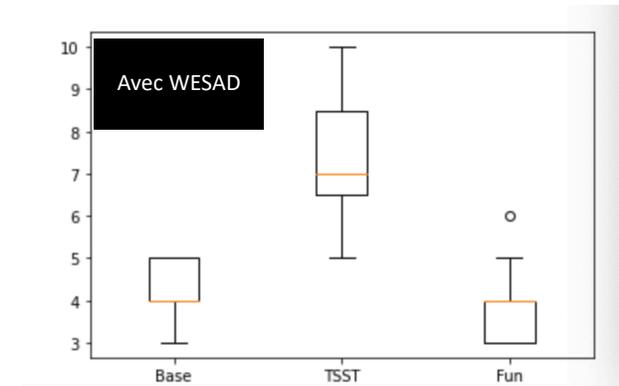
Scores VRSQ – Cybersickness (fatigue visuelle)



Chi square test

Stereo ≠ Control $p = 6.9 \cdot 10^{-5}$
 Stereo ≠ Stressful $p = 0.003$
 Stereo ≠ Dual task $p = 0.0002$

Scores STAI-6 3 items – Stress



ANOVA

TSST ≠ Fun $p = 4 \cdot 10^{-9}$
 TSST ≠ Base $p = 7.8 \cdot 10^{-9}$

Résultats Pré-Tests

Division binaire des scores questionnaires

Division binaire scores charge mentale **Dell'Agnola et al. (2020)** Nous avons également appliqué à Fatigue visuelle

Charge mentale

Faible < score Nasa-TLX 66 > Elevée

Charge mentale

Faible < score VRSQ 76 > Elevée

Stress (WESAD)

Phillips-Wren and Adya (2020)

Somme des 3 items STAI-6_2 Je suis tendu(e), STAI-6_3 Je me sens bouleversé(e),
STAI-6_6 Je suis inquiet(e)

Différence significative entre conditions stressée versus non stressée

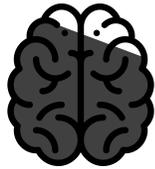


THE 29TH IEEE CONFERENCE ON VIRTUAL REALITY & 3D USER INTERFACES

Résultats Pré-Tests

ML + Normalisation + Sélection features

Features pour détecter



Surcharge mentale

0. écart type du gaze point X (horizontal)
1. durée moyenne des saccades guidées visuellement
2. amplitude de la réponse de skin conductance
3. puissance spectrale de 0.045-025HZ du signal EDA
4. la densité de puissance spectrale de la bande haute fréquence, 0,15 à 0,4 Hz de l'ECG toutes les 30 secondes (écart type)
5. la moyenne de la durée RR (heart-beat)
6. l'écart type de la durée RR
7. la médiane de la durée RR



Fatigue visuelle

0. la moyenne de la taille de la pupille droite
1. la moyenne de la taille des deux pupilles
2. la moyen de la distance interpupillaire
3. le minmum de la distance interpupillaire
4. la distance interpupillaire minimale toutes les 30s (écart type)
5. la moyenne du temps de montée de la réponse de skin conductance chaque 30s (écart type)
6. l'écart type de la phase phasique (EDA)
7. le nombre de réponse de la skin conductance (EDA)
8. l'indice triangulaire HRV toutes les 30s (écart type)
9. nombre de beat par minute



Stress aigu

0. nombre de réponse total dans SCR
1. durée RR (moyen)
2. pNN20
3. pNN50

Résultats Pré-Tests

ML + Normalisation + Sélection features

Meilleures performances pour détecter



Surcharge mentale

Support Vector Machine – Linear (SVM-L)
+ Normalisation Z-score + Features selection ANOVA

Accuracy 93 %

Precision 95 %

Recall 91 %



Fatigue visuelle

Quadratic discriminant analysis (QDA)
+ Normalisation min-max + Feature selection Random Forest

Accuracy 91%

Precision 94%

Recall 91%



Stress aigu

Support Vector Machine – Linear (SVM-L)
+ Feature selection Pearson, normalisation pas meilleure performance

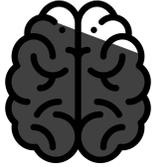
Accuracy 90 %

Precision 92 %

Recall 85 %

Avec WESAD

Discussion

Effet secondaire	Nos résultats comparés aux précédents travaux
 <p>Surcharge mentale</p>	<p>Ding et al. (2020) ont de meilleurs performances : accuracy 94.6 %</p> <p>Li et al. (2020) ont de moins bonnes performances : accuracy 85 %</p> <p>SVM aussi la meilleure technique ML pour détection</p>
 <p>Fatigue visuelle</p>	<p>Islam et al. (2020) ; Porcino et al. (2020) utilisent modèles non interprétables</p> <p>Dennison et al. (2016) ont de moins bonnes performances (accuracy 77.8 en moyenne avec les différentes techniques ML)</p>
 <p>Stress aigu</p>	<p>Phillips-Wren and Adya (2020) difficile de comparer : utilisent fenêtres de 5 sec.</p> <p>Garcia-Agundez et al. (2019) ; Dell'Agnola et al. (2020) 3 classes de stress</p> <p>Classification plus fine que la binaire pour notre expérience</p>

Résultats Pré-Tests Hypothèses de travail

H1 Les informations physiologiques permettent de prédire les effets secondaires de VR

Soutenue

H2 Les informations physiologiques permettent de distinguer charge mentale et stress

Non Soutenue

H3 Les informations physiologiques permettent de distinguer cybersickness et stress

Non Soutenue

H4 Les informations physiologiques permettent de distinguer cybersickness et charge mentale

Non Soutenue

Mais features pour détecter différentes (pas testé dans pré-tests)

Plus des données pour valider cette hypothèse sont nécessaires

Partiellement soutenue

Soutenue

Charge mentale et Stress

Non Soutenue

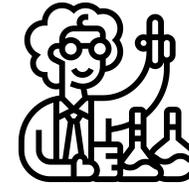
Fatigue visuelle QDA meilleur

1

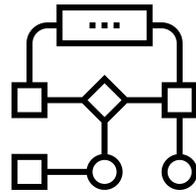


125 sujets
inter-sujet

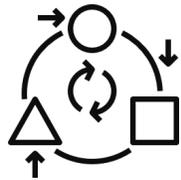
2



30 sujets
intra-sujet



Création du modèle de détection
sur ces données (machine learning)



Adapter dynamiquement les contenus / interfaces
selon état et profil utilisateur
IA prise de décision, fonctions de croyance

Environnements virtuels : adaptation du système à l'humain ou de l'humain au système ?

“*human first, technology second*”

Stone, 2016

M E R C I



Alexis Souchet

alexis.souchet@hds.utc.fr



Domitile Lourdeaux

domitile.lourdeaux@hds.utc.fr



Lama Diallo

mamadou.diallo@hds.utc.fr



Weifei Xie



AFIA
Association française
pour l'Intelligence Artificielle

GDR Groupement
de recherche
IG-RV Informatique, Réseaux,
Sémantique, Réalité Virtuelle
et Visualisation



Abbasi, A. M., Motamedzade, M., Alaiabadi, M., Golmohammadi, R., & Tajaki, L. (2020). Combined effects of noise and air temperature on human neurophysiological responses in a simulated indoor environment. *Applied Ergonomics*, 88, 103189. <https://doi.org/10.1016/j.apergo.2020.103189>

Alais, D., & Burt, D. (2019). Cue Combination Within a Bayesian Framework. In A. K. Lee, M. J. Wallace, A. B. Coffin, A. N. Popper, & R. R. Fay (Eds.), *Multisensory Processes : The Auditory Perspective* (p. 9-31). Springer International Publishing. https://doi.org/10.1007/978-3-030-10461-0_2

Anses. (2021). *AVIS et RAPPORT de l'Anses relatifs aux effets sanitaires potentiels liés à l'exposition aux technologies utilisant la réalité augmentée et la réalité virtuelle* (Avis de l'Anses, Rapports d'expertise collective N° 2017-SA-0076). Agence nationale de sécurité sanitaire de l'alimentation, de l'environnement et du travail. <https://www.anses.fr/fr/content/avis-2021-04884>

Arnald, B., Côté, S., Couture, N., Daurin, J.-L., Gouranton, V., Gruson, F., & Lourdeaux, D. (2018). New Approaches. Dans B. Arnald, P. Gutton, & G. Moreau, *Virtual Reality and Augmented Reality: Myths and Realities*. (S.1.) Wiley-ISITE.

Bakke, R., Coenen, P., Howie, E., Williamson, A., & Straker, L. (2018). The Short Term Musculoskeletal and Cognitive Effects of Prolonged Sitting During Office Computer Work. *International Journal of Environmental Research and Public Health*, 15(8), 1678. <https://doi.org/10.3390/ijerph15081678>

Balfanzon, N., Yee, N., Blaszovich, J., Beall, A. C., Lundblad, N., & Jin, M. (2008). The Use of Immersive Virtual Reality in the Learning Sciences: Digital Transformations of Teachers, Students, and Social Context. *Journal of the Learning Sciences*, 17(1), 102-141. doi: 10.1080/10590080701793141

Bando, T., Ujima, A., & Yano, S. (2012). Visual fatigue caused by stereoscopic images and the search for the requirement to prevent them: A review. *Displays*, 33(2), 76-83. <https://doi.org/10.1016/j.displa.2011.09.001>

Barreda-Angelès, M., Aleix-Guillamaus, S., & Predra-Baños, A. (2020). Users' psychophysiological, vocal, and self-reported responses to the apparent attitude of a virtual audience in stereoscopic 360° video. *Virtual Reality*, 24(2), 289-302. <https://doi.org/10.1007/s10055-019-00400-1>

Berthoz, A. (2008). *The Physiology and Phenomenology of Action* (1st ed.). (S.1.) Oxford University Press.

Biggs, A. T., Geyer, D. J., Schroeder, V. M., Robinson, F. E., & Bradley, J. L. (2018). *Adopting Virtual Reality and Augmented Reality Systems for Naval Aviation Training* (No. AD1063175). Dayton, Ohio : Naval Medical Research and Development Command

Brazgo, A., Battisti, A., Gabrieli, G., Esposito, G., & Furlanello, C. (2019). pyphysio: A physiological signal processing library for data science approaches in physiology. *SoftwareX*, 10, 100287. doi:10.1016/j.softx.2019.100287

Brivio, E., Giudoso, F., Veghine, I., Mirizzi, C. R., Reina, C., Stefan, A., & Calimberti, C. (2018). Preventing Technostress Through Positive Technology. *Frontiers in Psychology*, 9. <https://doi.org/10.3389/fpsyg.2018.02569>

Brun, C., Gagné, M., McCabe, C. S., & Mercier, C. (2018). Motor and sensory disturbances induced by sensorimotor conflicts during passive and active movements in healthy participants. *PLOS ONE*, 13(8), e0203206. <https://doi.org/10.1371/journal.pone.0203206>

Calik, B. B., Yagci, N., Oztop, M., & Çağlar, D. (2020). Effects of risk factors related to computer use on musculoskeletal pain in office workers. *International Journal of Occupational Safety and Ergonomics*, 00(0), 1-6. <https://doi.org/10.1080/10803548.2020.1765112>

Cai, T., Zhu, H., Xu, J., Wu, S., Li, X., & He, S. (2017). Human cortical neural correlates of visual fatigue during binocular depth perception: An fNIRS study. *PLoS ONE*, 12(1), e0172426. doi: 10.1371/journal.pone.0172426

Chang, E., Kim, H. T., & Yoo, B. (2020). Virtual Reality Experience: A Review of Causes and Measurements. *International Journal of Human-Computer Interaction*, 36(17), 1658-1682. <https://doi.org/10.1080/10447318.2020.1778351>

Chen, S., & Eppis, J. (2014). Using Task-Induced Pupil Diameter and Blink Rate to Infer Cognitive Load. *Human-Computer Interaction*, 29(4), 390-413. doi:10.1080/07370024.2014.892428

Chen, Y., Wang, X., & Xu, H. (2021). Human factors/ergonomics evaluation for virtual reality headsets: A review. *CCF Transactions on Pervasive Computing and Interaction*. <https://doi.org/10.1007/s42486-011-0006-z>

Cobb, S. V. G., Nichols, S., Ramsey, V., & Wilson, J. R. (1999). Virtual Reality Experience and Effects (VRIFE). *Presence: Teleoperators and Virtual Environments*, 8(2), 169-186. <https://doi.org/10.1162/105474699566155>

Davis, S., Nesbitt, K., & Nalivako, E. (2014). A Systematic Review of Cyberickness Symptoms in VR. Communication présentée au Proceedings of the 2014 Conference on Interactive Entertainment - ICE2014, Newcastle, NSW, Australia. doi: 10.1145/2677378.2677800

Daniël, F., & Kapoula, Z. (2019). Induced vergence-accommodation conflict reduces cognitive performance in the Stroop test. *Scientific Reports*, 9(1). doi: 10.1038/s41598-019-37778-y

de Dreu, M. J., Schouwenaars, T. T., Rutten, G. J. M., Ramsey, N. F., & Jansma, J. M. (2019). Brain Activity Associated With Expected Task Difficulty. *Frontiers in Human Neuroscience*, 13. <https://doi.org/10.3389/fnhum.2019.00286>

Dell'Aglio, F., Momeni, N., Arca, A., & Altanero, D. (2020). Cognitive Workload Monitoring in Virtual Reality Based Rescue Missions with Drones. In J. Y. C. Chen & G. Fragomeni (Eds.), *Virtual, Augmented and Mixed Reality: Design and Interaction* (p. 397-409). Springer International Publishing. https://doi.org/10.1007/978-3-030-48666-1_16

Dennison, M. S., Wist, A. Z., & D'Zmura, M. (2016). Use of physiological signals to predict cyberickness. *Displays*, 44, 42-52. <https://doi.org/10.1016/j.displa.2016.07.002>

Descheneaux, C., Rehermann-Jones, L., Moss, J., Krum, D., & Hudson, J. (2020). Negative Effects Associated with HMDs in Augmented and Virtual Reality. In J. Y. C. Chen & G. Fragomeni (Eds.), *Virtual, Augmented and Mixed Reality: Design and Interaction* (p. 410-428). Springer International Publishing. https://doi.org/10.1007/978-3-030-49099-1_27

Diaz, G., Cooper, J., Rothkopf, C., & Hayhoe, M. (2013). Saccades to future ball location reveal memory-based prediction in a virtual-reality interception task. *Journal of Vision*, 13(1), 20-20. <https://doi.org/10.1167/13.1.20>

Ding, F., Cao, Y., Duffly, V. G., Wang, Y., & Zhang, X. (2020). Measurement and identification of mental workload during simulated computer tasks with multimodal methods and machine learning. *Ergonomics*, 63(7), 986-908. <https://doi.org/10.1080/00140139.2020.1766089>

Eytapey, S., Staal, J. B., Hassan, A., & de Be, R. A. (2009). Work Related Risk Factors for Neck, Shoulder and Arms Complaints: A Cohort Study Among Dutch Computer Office Workers. *Journal of Occupational Rehabilitation*, 19(4), 315. <https://doi.org/10.1007/s10926-009-9186-x>

EU OSHA. (2019). *Digitalisation and occupational safety and health* (Brochure doi:10.2802/119288). European Agency for Safety and Health at Work. <https://eu.osha.europa.eu/fr/doc>

Flink, G. (2016). Chapter 1 - Stress, Definitions, Mechanisms, and Effects Outlined: Lessons from Anxiety. In G. Flink (Ed.), *Stress: Concepts, Cognition, Emotion, and Behavior* (p. 3-11). Academic Press. <https://doi.org/10.1016/b978-0-12-80905-2.ch001>

Foreman, M., & Kanomori, A. (Eds.). (2010). *Handbook of Set Theory*. Springer Netherlands. <https://doi.org/10.1007/978-1-4020-5764-9>

Frutiger, M., & Borotkanics, R. (2021). Systematic Review and Meta-Analysis Suggest Strength Training and Workplace Modifications May Reduce Neck Pain in Office Workers. *Pain Practice*, 21(1), 100-131. <https://doi.org/10.1111/papr.12940>

Fuchs, P. (2018). The Challenges and Risks of Democratization of VR-AR. Dans B. Arnald, P. Gutton, & G. Moreau, *Virtual Reality and Augmented Reality: Myths and Realities*.

Gallagher, M., & Ferré, E. R. (2018). Cyberickness: A Multisensory Integration Perspective. *Multisensory Research*, 31(7), 645-674. <https://doi.org/10.1163/21134838-201812033>

Gandevia, S. C. (2003). Spinal and supraspinal factors in human muscle fatigue. *Physiological Reviews*, 83(4), 1729-1789. <https://doi.org/10.1152/physrev.2003.83.4.1729>

García Agúndez, A., Reuter, C., Becker, H., Konrad, R., Caseman, P., Miede, A., & Göbel, S. (2019). Development of a Classifier to Determine Factors Causing Cyberickness in Virtual Reality Environments. *Games for Health Journal*, 8(6), 439-444. <https://doi.org/10.1080/gbh.2018.0745>

Gazgan, A. M., Nesbitt, K. V., Blakmore, K. L., & Nalivako, E. (2017). Profiling subjective symptoms and autonomic changes associated with cyberickness. *Autonomic Neuroscience: Basic and Clinical*, 203, 41-50. <https://doi.org/10.1016/j.autneu.2016.12.004>

Grassini, S., & Laumann, K. (2021). Immersive visual technologies and human health. *European Conference on Cognitive Ergonomics 2021*, 1-6. <https://doi.org/10.1145/3452953.3452956>

Heidarimoghdam, R., Mohammadmofid, I., Babamiri, M., Soltanian, A. R., Khotanlou, H., & Sohrabi, M. S. (2020). Study protocol and baseline results for a quasi-randomized control trial: An investigation on the effects of ergonomic interventions on work-related musculoskeletal disorders, quality of work-life and productivity in knowledge based companies. *International Journal of Industrial Ergonomics*, 80, 102938. <https://doi.org/10.1016/j.ergon.2020.102938>

Holt, T. J., & Blevins, K. R. (2011). Examining Job Stress and Satisfaction Among Digital Forensic Examiners. *Journal of Contemporary Criminal Justice*, 27(2), 230-250. <https://doi.org/10.1177/1043986211400895>

Hoffing, R. C., & Setta, A. (2016). Pupil size as an indicator of neurochemical activity during learning (pp. 341-342). Communication présentée au Proceedings of the Ninth Biennial ACM Symposium on Eye Tracking Research & Applications (ETRA '16), Charleston, SC, USA. doi:10.1145/2857491.2888886

Howard, M. C., & Van Zandt, E. C. (2021). A meta-analysis of the virtual reality problem: Unequal effects of virtual reality sickness across individual differences. *Virtual Reality*. <https://doi.org/10.1007/s10055-021-00524-z>

Ishander, J., Hosny, M., & Nahavand, S. (2018). A Review on Ocular Biometric Models for Assessing Visual Fatigue in Virtual Reality. *IEEE Access*, 6, 19345-19361. doi:10.1109/access.2018.2815663

Islam, R., Lee, Y., Jalil, M., Muhammad, I., Zhu, D., & Quarles, J. (2020). Automatic Detection of Cyberickness from Physiological Signal in a Virtual Roller Coaster Simulation. *2020 IEEE Conference on Virtual Reality and 3D User Interfaces Abstracts and Workshops (VRW)*, 648-649. <https://doi.org/10.1109/VRW50115.2020.00125>

Jahnke, H., & Hoffmann, D. M. (2020). Objective measures of cognitive performance in activity based workplaces and traditional office types. *Journal of Environmental Psychology*, 72, 101501. <https://doi.org/10.1016/j.jenvp.2020.101501>

Kim, Y. Y., Kim, H. J., Kim, E. N., Ko, H. D., & Kim, H. T. (2005). Characteristic changes in the physiological components of cyberickness. *Psychophysiology*, 42(5), 616-625. <https://doi.org/10.1111/j.1469-8986.2005.00149.x>

LaVoilà, J. I. (2000). A discussion of cyberickness in virtual environments. *ACM SIGCHI Bulletin*, 32(1), 47-56. doi: 10.1145/33329.333344

Lamboni, M., Usselstein, W., Fortuin, M., & Heyndericks, I. (2009). Visual Discomfort and Visual Fatigue of Stereoscopic Displays: A Review. *Journal of Imaging Science and Technology*, 53(3), 1-14. <https://doi.org/10.2352/j.imsageengr.technol.2009.53.3.030201>

Lawson, B. D. (2014). Motion Sickness Symptomatology and Origins. In K. S. Hale & K. M. Stoney (Eds.), *Handbook of Virtual Environments Design, Implementation, and Applications* (second). CRC Press. <https://www.taylorfrancis.com/books/9780429098710/chapters/10.1201/b17360-33>

Lim, H.-K., Kim, H., Jang, T., & Lee, Y. (2013). Research Trends of International Guides for Human Error Prevention in Nuclear Power Plants. *Journal of the Ergonomics Society of Korea*, 32. <https://doi.org/10.5343/ksj.2013.32.1.125>

La Torre, G., Esposito, A., Sciarra, I., & Chiappetta, M. (2019). Definition, symptoms and risk of techno-stress: A systematic review. *International Archives of Occupational and Environmental Health*, 92(1), 13-35. <https://doi.org/10.1007/s00420-018-1352-z>

Li, J., Li, H., Ulmer, W., Wang, H., Xing, X., Zhao, S., Hou, J. (2020). Identification and classification of construction equipment operators' mental fatigue using wearable eye-tracking technology. *Automation in Construction*, 109(103000). <https://doi.org/10.1016/j.autcon.2019.103000>

Madary M and Metzinger TK (2016) Real Virtuality: A Code of Ethical Conduct. Recommendations for Good Scientific Practice and the Consumers of VR-Technology. *Front. Robot. AI* 3:3. doi: 10.3389/frobt.2016.00003

Mahani, M. A., N., Sheybani, S., Bausehant, K. M., Ulrich, R., & Ahmadabbad, M. N. (2017). Multisensory Perception of Contradictory Information in an Environment of Varying Reliability : Evidence for Conscious Perception and Optimal Causal Inference. *Scientific Reports*, 7(1), 3167. <https://doi.org/10.1038/s41598-017-03521-z>

Matsura, Y. (2019). Aftereffect of Stereoscopic Viewing on Human Body II. Dans H. Takada, M. Miyao, & S. Fateh, *Current Topics in Environmental Health and Preventive Medicine* (1st ed., pp. 89-99). (S.1.) Springer, Singapore. doi:10.1007/978-13-1601-2_8

Meunillo, S., Cleary, M., & Visentin, D. (2021). Employee Well-being in Open-Plan Office Spaces. *Issues in Mental Health Nursing*, 42(1), 103-105. <https://doi.org/10.1080/01612240.2020.1865077>

Mun, S., Park, M.-C., Park, S., & Wang, M. (2012). SSVEP and ERP measurement of cognitive fatigue caused by stereoscopic 3D. *Neuroscience Letters*, 525(2), 89-94. doi:10.1016/j.neulet.2012.07.049

Nesbitt, K., & Nalivako, E. (2018). Cyberickness. In N. Lee (Ed.), *Encyclopedia of Computer Graphics and Games* (p. 1-6). Springer International Publishing. https://doi.org/10.1007/978-3-319-08234-9_253-1

O'Regan, K. J., & Noel, A. (2001). A sensorimotor account of vision and visual consciousness. *The Behavioral and Brain Sciences*, 24(5), 959-973. discussion 973-1011. <https://doi.org/10.1017/S0140478X020010115>

Patterson, R. (2009). Review Paper : Human factors of stereo displays : An update. *Journal of the Society for Information Display*, 17(12), 987-996. <https://doi.org/10.1889/jSID17.12.987>

Patterson, R., Winterbottom, M. D., & Pierce, B. I. (2006). Perceptual Issues in the Use of head-mounted visual displays. *Human Factors: The Journal of the Human Factors and Ergonomics Society*, 48(3), 555-573. doi: 10.1518/00187200677860877

Phen, L. M., Jones, J., Engler, D. R., & Sachau, D. (2010). Secondary Traumatic Stress and Burnout among Law Enforcement Investigators Exposed to Disturbing Media Images. *Journal of Police and Criminal Psychology*, 25(2), 113-124. <https://doi.org/10.1007/s11896-010-9066-7>

Phillips-Wren, G., & Adya, M. (2020). Decision making under stress: The role of information overload, time pressure, complexity, and uncertainty. *Journal of Decision Systems*, 00(0), 1-13. <https://doi.org/10.1080/21460191.2020.1748080>

Pouget, A., Beck, I. M., Ma, W. J., & Latham, P. E. (2013). Probabilistic brains: Knowns and unknowns. *Nature Neuroscience*, 16(9), 1170-1178. <https://doi.org/10.1038/nrn.2013.385>

Porcino, T., Rodrigues, E. D., Silva, A., Clua, E., & Trevisan, D. (2020). Using the gameplay and user data to predict and identify causes of cyberickness manifestation in virtual reality games. *2020 IEEE BN International Conference on Serious Games and Applications for Health (SerGAP)*, 1-8. <https://doi.org/10.1109/SerGAP49190.2020.9210649>

Prein, R., Pakkan, M., Kubicek, B., & Korunka, C. (2018). Exploring the ambivalence of time pressure in daily working life. *International Journal of Stress Management*, 25(1), 35-43. <https://doi.org/10.1037/ist0000044>

Rac-Lubaszewski, R., Slagter, H. A., & Kessler, Y. (2017). Tracking Real-Time Changes in Working Memory Updating and Gating with the Event-Based Eye-Blink Rate. *Scientific Reports*, 7(1), 017. doi: 10.1038/s41598-017-02942-3

Reason, J. T. (1978). Motion sickness adaptation: A neural mismatch model. *Journal of the Royal Society of Medicine*, 71(11), 819-829.

Rebentisch, L., & Owen, C. (2016). Review on cyberickness in applications and visual displays. *Virtual Reality*, 20(2), 101-125. <https://doi.org/10.1007/s10055-016-0285-9>

Rebentisch, L., & Owen, C. (2021). Estimating cyberickness in virtual reality applications. *Virtual Reality*, 25(1), 165-174. <https://doi.org/10.1007/s10055-020-00466-6>

Sheppard, A. L., & Wolffsohn, J. S. (2018). Digital eye strain: Prevalence, measurement and amelioration. *BMJ Open Ophthalmology*, 8(1), e000146. <https://doi.org/10.1136/bmjophth-2018-000146>

Shiner-Frechette, K. (2010). Technology and Ethics. Dans C. Hanks, *Technology and Values: Essential Readings* (pp. 60-64). (S.1.) Wiley-Blackwell.

Strader M, Gonzalez-Lienres C, Haggard P, Vinkers C, Gregory-Clarke R, Jelley S, Watson Z, Breen G, Schwarz R, Steptoe W, Szostak D, Hain S, Fox D and Silver J (2020) The Ethics of Realism in Virtual and Augmented Reality. *Front. Virtual Real.* 1:1. doi: 10.3389/frvir.2020.00001

Souchet, Alexis D. (2020) Visual fatigue impacts on learning via serious game in virtual reality. PhD thesis. Paris 8 University, Saint-Denis, France. DOI: 10.13140/RG.2.2.26419.66084

Souchet et al. (2019) Investigating Cyclical Stereoscopic Effects over Visual Discomfort and Fatigue in Virtual Reality while Learning. In Proceedings of the 18th IEEE International Symposium on Mixed and Augmented Reality (ISMAR'19), Beijing, China. DOI: 10.1109/ISMAR.2019.00001

Souchet et al. (2018) Eye strain impacts on learning job interview with a serious game in virtual reality: a randomized double-blinded study. In Proceedings of the 24th ACM Symposium on Virtual Reality Software and Technology (VRST '18), Tokyo, Japan. DOI: 10.1145/3281505.3281509

Stone, R. J. (2016). Getting VR Right Then and Now... The Indispensable Role of Human Factors and Human Centered Design. *Presence: Teleoperators and Virtual Environments*, 25(2), 151-161.

Stoney, K., Lawson, B. D., Subara, B., Denison, M., Fidopiastis, C., Stoffregen, T., Weech, S., & Fuwaj, J. M. (2020). Identifying Causes of and Solutions for Cyberickness in Immersive Technology : Reformulation of a Research and Development Agenda. *International Journal of Human-Computer Interaction*, 36(19), 1783-1803. <https://doi.org/10.1080/10447318.2020.1828355>

Terzi, K., & Hansari, M. (2017). Causes of discomfort in stereoscopic content: a review. *Computing Research Repository (CoRR)*.

Tsai, K., & Howarth, P. A. (2008). Visual fatigue caused by viewing stereoscopic motion images: Background, theories, and observations. *Displays*, 29(2), 106-116. doi:10.1016/j.displa.2007.09.004

Vasilev, M. R., Kirkby, J. A., & Angble, R. (2018). Auditory Distraction During Reading: A Bayesian Meta-Analysis of a Continuing Controversy. *Perspectives on Psychological Science*, 13(5), 567-597. <https://doi.org/10.1177/1745690117742789>

Van Acker, B. B., Parmentier, D. D., Vlerick, P., & Saldien, J. (2018). Understanding mental workload : From a clarifying concept analysis toward an implementable framework. *Cognition, Technology & Work*, 20(3), 351-365. <https://doi.org/10.1007/s10111-018-0481-3>

Van den Berg, M. M. H. E., Maas, J., Muller, R., Braun, A., Kaindorp, W., Van Lienen, R., Van Poppel, M. N. M., Van Mechele, W., & Van den Berg, A. E. (2015). Autonomic Nervous System Responses to Viewing Green and Blue Settings : Differentiating between Sympathetic and Parasympathetic Activity. *International Journal of Environmental Research and Public Health*, 12(12), 15860-15874. <https://doi.org/10.3390/ijerph121215860>

Watt, D. G. D. (1988). Sensory and Motor Conflict in Motion Sickness. *Brain, Behavior and Evolution*, 23(1-2), 32-35. <https://doi.org/10.1159/000121485>

Walsh, K. S., McGivern, D. P., Clark, A., & O'Connell, R. G. (2020). Evaluating the neurophysiological evidence for predictive processing as a model of perception. *Annals of the New York Academy of Sciences*, 1464(1), 242-268. <https://doi.org/10.1111/nyas.14321>

Yang, K. C. (2019). Reality-Creating Technologies as a Global Phenomenon. Dans *Cases on Immersive Virtual Reality Techniques* (pp. 1-18). (S.1.) IGI Global. doi:10.4018/978-1-5225-5912-2.ch001

Yildirim, C. (2020). Don't make me sick: Investigating the incidence of cyberickness in commercial virtual reality headsets. *Virtual Reality*, 24(2), 231-239. <https://doi.org/10.1007/s10055-019-00401-0>

Young, M. S., Brookhuis, K. A., Wickens, C. D., & Hancock, P. A. (2015). State of science: Mental workload in ergonomics. *Ergonomics*, 58(1), 1-17. <https://doi.org/10.1080/00140139.2014.956151>

Young, E. S., Frankenhoff, W. E., & Ellis, B. J. (2020). Theory and measurement of environmental unpredictability. *Evolution and Human Behavior*, 41(6), 550-556. <https://doi.org/10.1016/j.evolhumbehav.2020.08.006>